

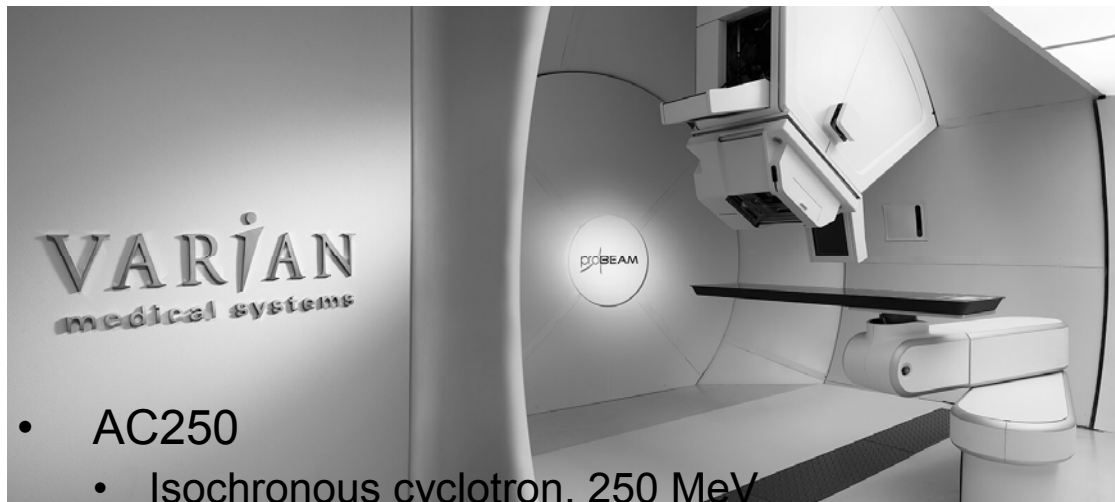
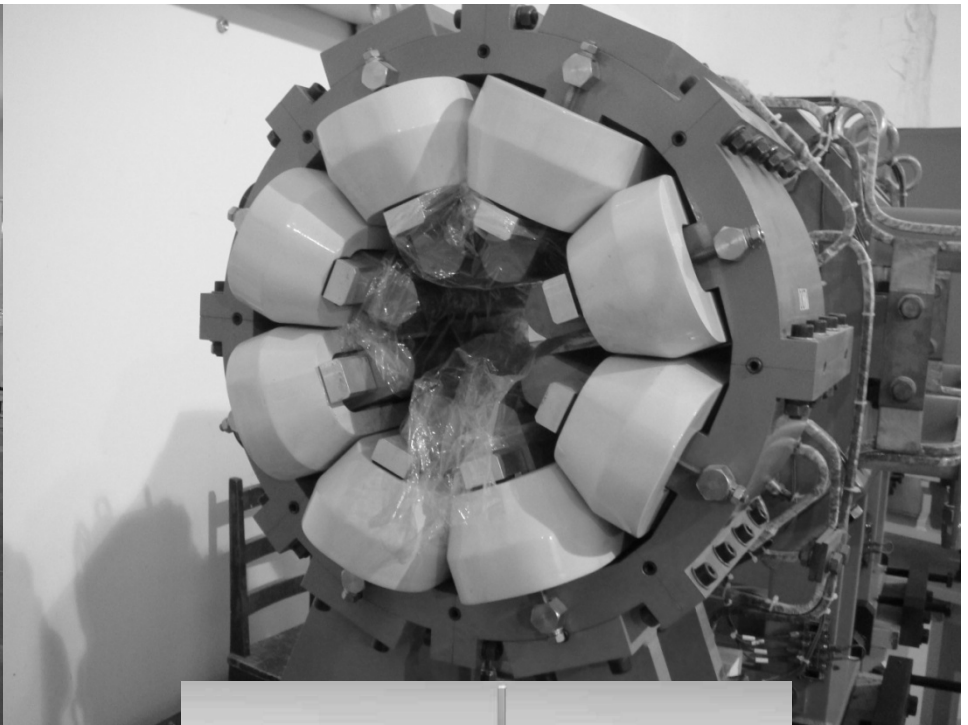
电磁场数值计算

邢庆子

Tel: 62781684(o), 13661226717

E-mail: xqz@tsinghua.edu.cn

清华大学工物系加速器实验室 刘卿楼**309**



- AC250
 - Isochronous cyclotron, 250 MeV
 - Superconducting, 160 A, 10^6 Ampere-turns
 - B field: 2.4 T ~ 4T
 - 3.1 m 90 t
 - Varian ProBeam





魏开煜， 《带电束流传输理论》

夏慧琴， 《束流传输原理》



1.5 边界条件与边值关系

1.5.4 讨论

- 边界条件的类型与选取的边界面、采用的位函数均有关

➤ 对于静电场：（标量电位）

1) E 垂直于边界面（如导体表面）： $(E_t=0)$ 第一类

2) 取 E 线为边界线： $(E_n=0)$ 第二类

➤ 对于静磁场：（矢量磁位）

1) 取 $\mu \rightarrow \infty$ 的铁磁物质表面为边界： $(H_n=0)$ 第一类

2) B 线垂直于边界面： $(H_t=0)$ 第二类



1.5 边界条件与边值关系

例1. H 型二极磁铁，（磁导率 $\mu \rightarrow \infty$ ）。坐标系选择：二维

● 计算区域：ABCD

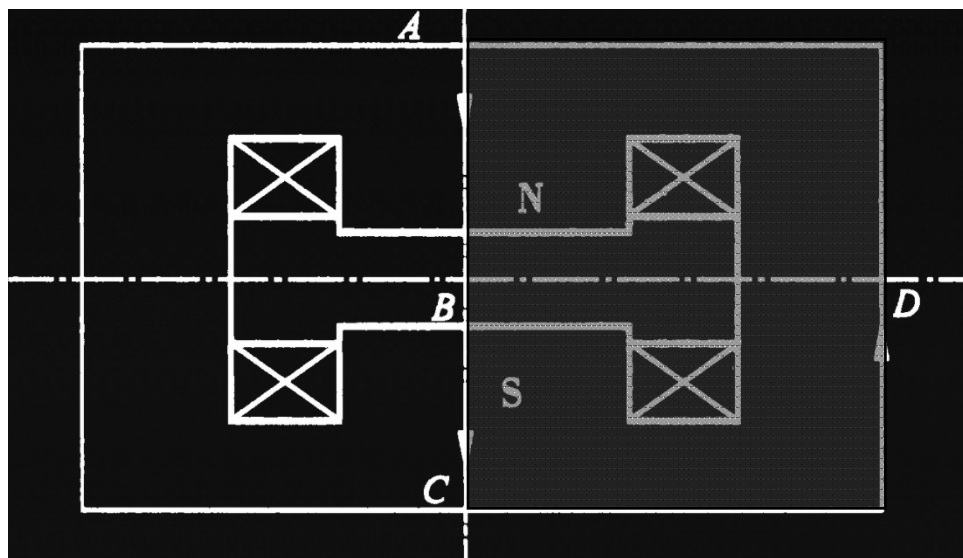
对ABCD边界：

➤ 矢量磁位 A

$$\frac{1}{\mu} \frac{\partial A}{\partial t} = 0 \quad : \text{第一类}$$

➤ 标量磁位 Φ

$$\frac{\partial \Phi}{\partial n} = 0 \quad : \text{第二类}$$



H型二极磁铁截面图



1.5 边界条件与边值关系

例1. H 型二极磁铁，（磁导率 $\mu \rightarrow \infty$ ）。坐标系选择：二维

● 计算区域：ABDA

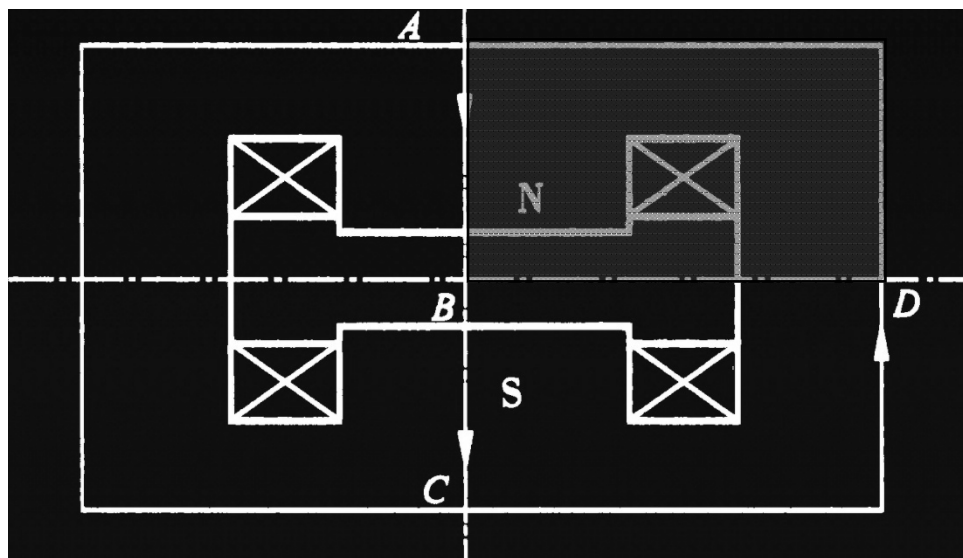
对BD边界：

➤ 矢量磁位 A

$$\frac{1}{\mu} \frac{\partial A}{\partial n} = 0 \quad : \text{第二类}$$

➤ 标量磁位 Φ

$$\frac{\partial \Phi}{\partial t} = 0 \quad : \text{第一类}$$

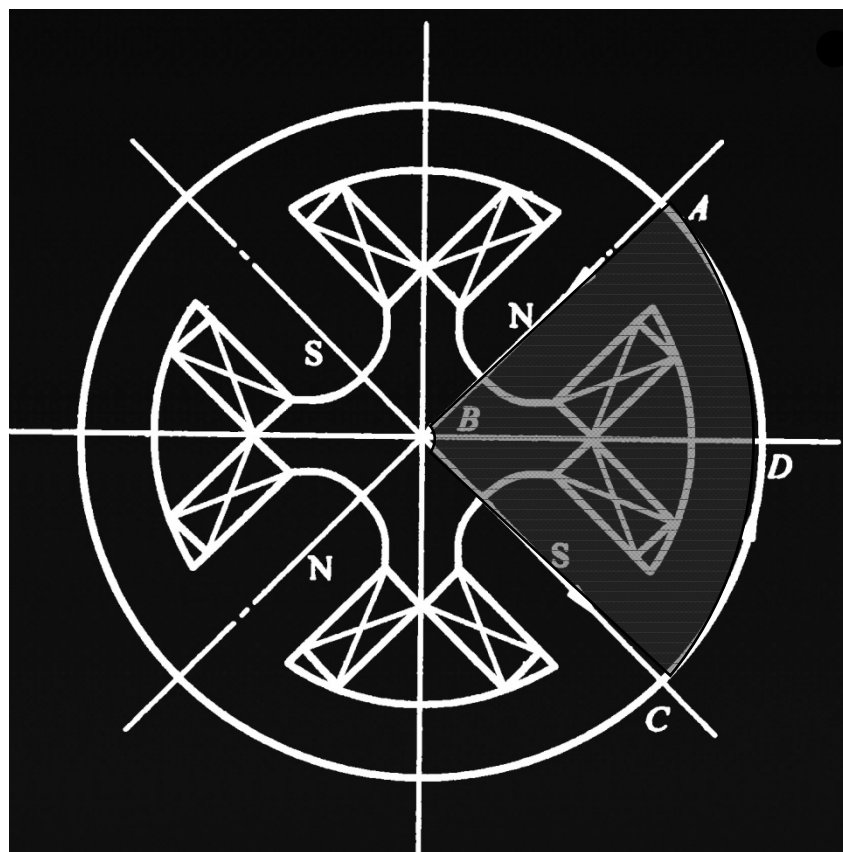


H型二极磁铁截面图



1.5 边界条件与边值关系

例2. 正四极磁铁，（磁导率 $\mu \rightarrow \infty$ ）。坐标系选择：二维



正四极磁铁结构图

● 计算区域：ABCD

对ABCD边界：

➤ 矢量磁位 A

$$\frac{1}{\mu} \frac{\partial A}{\partial n} = 0 \quad : \text{第一类}$$

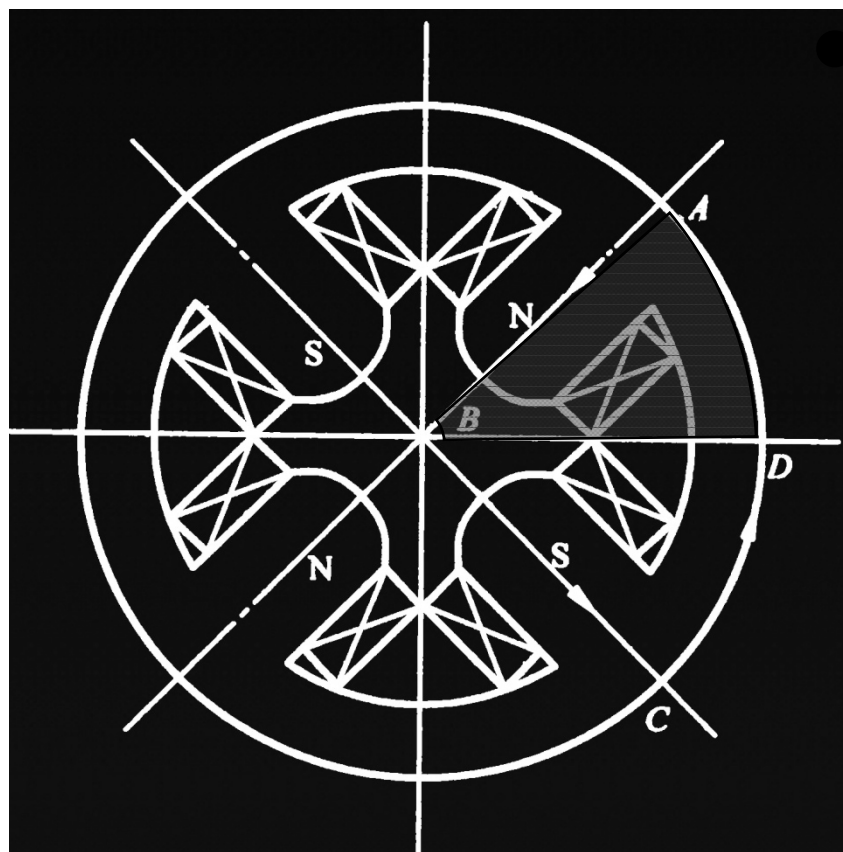
➤ 标量磁位 Φ

$$\frac{\partial \Phi}{\partial n} = 0 \quad : \text{第二类}$$



1.5 边界条件与边值关系

例2. 正四极磁铁，（磁导率 $\mu \rightarrow \infty$ ）。坐标系选择：二维



正四极磁铁结构图

● 计算区域：ABDA

对BD边界：

➤ 矢量磁位 A

$$\frac{\partial A}{\partial n} = 0 \quad : \text{第二类}$$

➤ 标量磁位 Φ

$$\frac{\partial \Phi}{\partial t} = 0 \quad : \text{第一类}$$



1.5 边界条件与边值关系

● 总结：

- 1) 首先根据计算问题的结构对称性，选择一部分区域进行计算；
- 2) 根据物理问题选择合适的计算函数；
- 3) 在边界条件的限定下，具体分析边界条件是属于哪一类。（并不是固定不变的，与选择的边界和所选位函数有关！）



1.5 边界条件与边值关系（附录）

- 例一：计算边界选取**ABCD**A。

在此边界上， $B_n = 0$ 即 $H_n = 0$

此区域即有铁区、空气区和线包区，选择矢量磁位**A**作为求解函数为最合适，于是有

$$B_n = -\frac{\partial A_z}{\partial n} \quad \therefore A_z = \text{常数}$$

这属于第一类边界条件。

当除开电流区外计算时，也可选择标量磁位函数 ϕ 为求解函数， 则： $H_n = 0 \quad \therefore H_n = -\frac{\partial \phi}{\partial n} = 0$

这属于第二类边界条件。



1.5 边界条件与边值关系（附录）

● 例一：计算边界选取ABDA。

由于结构对称性，选择 1/4 区域为计算区域，只讨论**BD**边界情况（其它边界与前面分析一样），**BD**与磁力线垂直，在**BD**上 $B_t=0 \rightarrow H_t=0$ 。当仍选 A 做为计算函数时，在 **BD** 边界上有 $B_t = \frac{\partial A_z}{\partial n} = 0$ ，这属于第二类边界条件。

如果选 ϕ 为计算函数，在**BD**上有 $H_t = -\frac{\partial \phi}{\partial t} = 0$ ，则 $\phi|_s = \text{常数}$ ，这属于第一类边界条件。



1.5 边界条件与边值关系（附录）

● 例二

取ABCD为边界，磁力线最外部的与边界重合，在此边界上 $B_n=0 \rightarrow H_n=0$ 。常取矢量磁位A为计算函数。由于 $B_n=0$ ，
 $\therefore B_n = -\frac{\partial A_z}{\partial t}$ ， A_z =常数。在此，属于第一类边界条件。

为计算简单，考虑对称取1/8为计算区，BD为边界，在BD上，磁力线与其垂直， $B_t=0 \rightarrow H_t=0$ ， $B_t = \frac{\partial A_z}{\partial n} = 0$ ，属于第二类边界条件。

如果用 ϕ 计算，边界条件如何确定，属于哪一类？



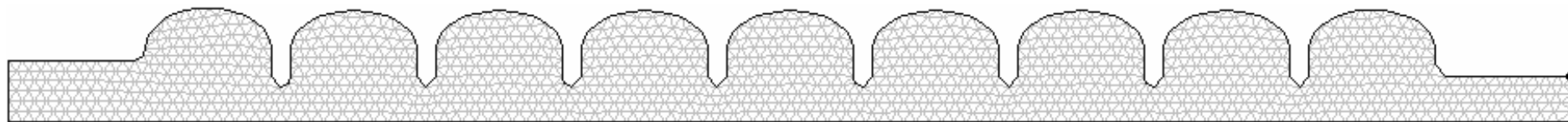
一、导出差分方程主要有哪几种方法？

- (1) 泰勒级数展开方法
- (2) 积分方程法
- (3) 变分法



二、应用有限差分法进行数值计算的具体步骤？

(1) 计算场域的离散化，把连续的场离散为节点参数；



(2) 对域内及边界条件进行离散化处理，用差商代替偏导数，导出相应的差分格式；

$$\frac{\Delta f}{\Delta x} = \frac{f(x+h) - f(x)}{h}, \quad \frac{\Delta^2 f(x)}{(\Delta x)^2} = \frac{\Delta f(x+h) - \Delta f(x)}{h^2} \dots\dots$$

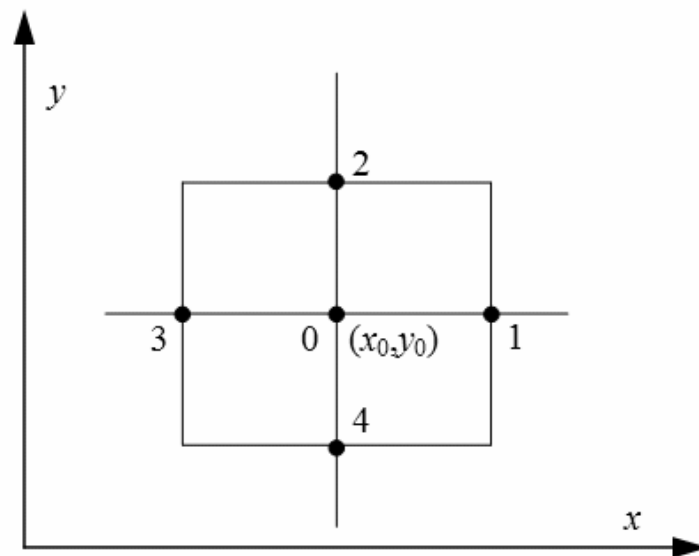
(3) 求解差分方程组。



三、在等距网格条件下，直角坐标系中泊松方程的五点差分格式？

$$\frac{\partial^2 A}{\partial x^2} + \frac{\partial^2 A}{\partial y^2} = -\mu J$$

$$\left\{ \begin{array}{l} A_1 = A_0 + \left(\frac{\partial A}{\partial x} \right)_0 h + \frac{1}{2!} \left(\frac{\partial^2 A}{\partial x^2} \right)_0 h^2 + \frac{1}{3!} \left(\frac{\partial^3 A}{\partial x^3} \right)_0 h^3 + \dots \\ A_3 = A_0 - \left(\frac{\partial A}{\partial x} \right)_0 h + \frac{1}{2!} \left(\frac{\partial^2 A}{\partial x^2} \right)_0 h^2 - \frac{1}{3!} \left(\frac{\partial^3 A}{\partial x^3} \right)_0 h^3 + \dots \\ A_2 = A_0 + \left(\frac{\partial A}{\partial y} \right)_0 h + \frac{1}{2!} \left(\frac{\partial^2 A}{\partial y^2} \right)_0 h^2 + \frac{1}{3!} \left(\frac{\partial^3 A}{\partial y^3} \right)_0 h^3 + \dots \\ A_4 = A_0 - \left(\frac{\partial A}{\partial y} \right)_0 h + \frac{1}{2!} \left(\frac{\partial^2 A}{\partial y^2} \right)_0 h^2 + \frac{1}{3!} \left(\frac{\partial^3 A}{\partial y^3} \right)_0 h^3 + \dots \end{array} \right.$$



五点差分格式

$$A_1 + A_2 + A_3 + A_4 - 4A_0 = -\mu h^2 J$$



四、轴坐标系中， $\mu=\text{常数}$ 时，标量磁位满足的微分方程及其差分格式？

$$\frac{\partial^2 \Phi}{\partial r^2} + \frac{1}{r} \frac{\partial \Phi}{\partial r} + \frac{\partial^2 \Phi}{\partial z^2} = 0$$

$$\left(1 + \frac{h}{2r_0}\right) \Phi_1 + \Phi_2 + \left(1 - \frac{h}{2r_0}\right) \Phi_3 + \Phi_4 - 4\Phi_0 = 0$$

在 $r=0$ 时，标量磁位满足的微分方程及差分格式？

$\frac{1}{r} \frac{\partial \Phi}{\partial r}$ 变成 $0/0$ ，为不定值。

利用罗彼达法则，求导，方程变为 $2\frac{\partial^2 \Phi}{\partial r^2} + \frac{\partial^2 \Phi}{\partial z^2} = 0$

由于场对称性， $\Phi_1 = \Phi_3$ ，差分方程变为：

$$4\Phi_1 + \Phi_2 + \Phi_4 - 6\Phi_0 = 0$$



五、轴坐标系中， $\mu=\text{常数}$ 时，矢量磁位满足的泊松方程及其差分格式？

$$\frac{\partial}{\partial r} \left(\frac{1}{r} \frac{\partial}{\partial r} (r A_\theta) \right) + \frac{\partial^2 A_\theta}{\partial z^2} = -\mu J_\theta$$

进行等价变形处理，使计算简化。设 $\Phi = r A_\theta$ ：

$$\frac{\partial}{\partial r} \left(\frac{1}{r} \frac{\partial \Phi}{\partial r} \right) + \frac{1}{r} \frac{\partial^2 \Phi}{\partial z^2} = -\mu J_\theta$$

将上式展开，可得 $\frac{\partial^2 \Phi}{\partial r^2} - \frac{1}{r} \frac{\partial \Phi}{\partial r} + \frac{\partial^2 \Phi}{\partial z^2} = -\mu J_\theta$

导出差分方程：

$$\Phi_1 + \Phi_2 + \Phi_3 + \Phi_4 - 4\Phi_0 - \frac{h}{2r_0} (\Phi_1 - \Phi_3) = -h^2 \mu r_0 J_0$$

- 直角坐标系，标量磁位拉普拉斯方程表示为：

$$\Phi_{i,j} = \frac{1}{4}(\Phi_{i+1,j} + \Phi_{i,j+1} + \Phi_{i-1,j} + \Phi_{i,j-1})$$

矢量磁位拉普拉斯方程表示为：

$$A_{i,j} = \frac{1}{4}(A_{i+1,j} + A_{i,j+1} + A_{i-1,j} + A_{i,j-1})$$

矢量磁位泊松方程表示为：

$$A_{i,j} = \frac{1}{4}(A_{i+1,j} + A_{i,j+1} + A_{i-1,j} + A_{i,j-1} + h^2 \mu J_{i,j})$$

- 圆柱坐标系，轴对称场，标量磁位拉普拉斯方程表示为：

$$\Phi_{i,j} = \frac{1}{4} \left(\left(1 + \frac{h}{2r_{i,j}} \right) \Phi_{i+1,j} + \Phi_{i,j+1} + \left(1 - \frac{h}{2r_{i,j}} \right) \Phi_{i-1,j} + \Phi_{i,j-1} \right)$$

矢量磁位拉普拉斯方程表示为：

$$\Phi_{i,j} = \frac{1}{4} \left(\Phi_{i+1,j} + \Phi_{i,j+1} + \Phi_{i-1,j} + \Phi_{i,j-1} - \frac{h}{2r_{i,j}} (\Phi_{i+1,j} - \Phi_{i-1,j}) \right)$$

矢量磁位泊松方程表示为：

$$\Phi_{i,j} = \frac{1}{4} \left(\Phi_{i+1,j} + \Phi_{i,j+1} + \Phi_{i-1,j} + \Phi_{i,j-1} - \frac{h}{2r_{i,j}} (\Phi_{i+1,j} - \Phi_{i-1,j}) + h^2 \mu r_{i,j} J_{i,j} \right)$$

$\Phi = r A_\theta$!!!



2.4 边界条件与边值关系的离散化

2.4.1 第一类边界条件的差分离散

2.4.2 第二类边界条件的差分离散

2.4.3 不同媒质交界面上的差分离散

2.4.4 对称线的差分离散格式

2.5 差分方程求解实例

2.9 时变电磁场的差分格式



2.4 边界条件与边值关系的离散化

2.4.1 第一类边界条件的差分离散

1) 边界与节点重合时的处理——直接代入法

$$A_i = A_0 \quad i=1, 2, \dots, n$$

2) 边界与节点不重合时的处理

(1) 直接转移法: $\Phi_P = \Phi_R$

(2) 线性插值法: $\Phi_0 = \frac{S_1}{S_1 + S_2} \Phi_2 + \frac{S_2}{S_1 + S_2} \Phi_1$

(3) 不等距网格法:

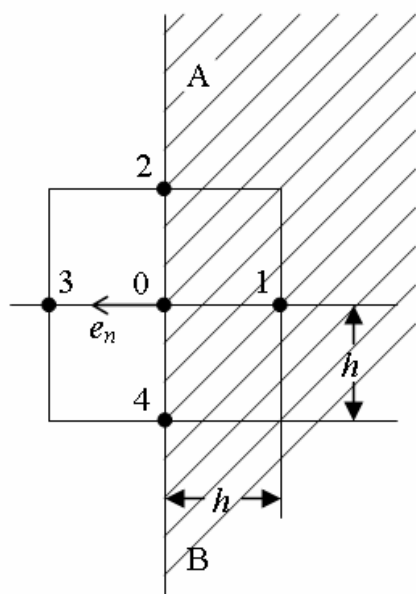
$$\frac{1}{1+\alpha} A_1 + \frac{1}{\beta(1+\beta)} A_2 + \frac{1}{\alpha(\alpha+1)} A_3 + \frac{1}{1+\beta} A_4 - \left(\frac{1}{\alpha} + \frac{1}{\beta} \right) A_0 = -\frac{1}{2} h^2 \mu J_0$$



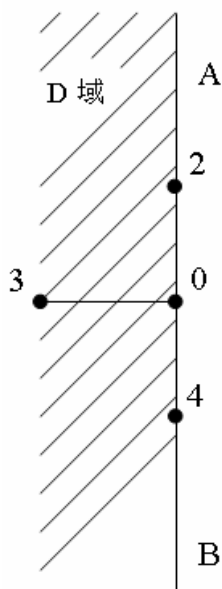
2.4 边界条件与边值关系的离散化

2.4.2 第二类边界条件的差分离散

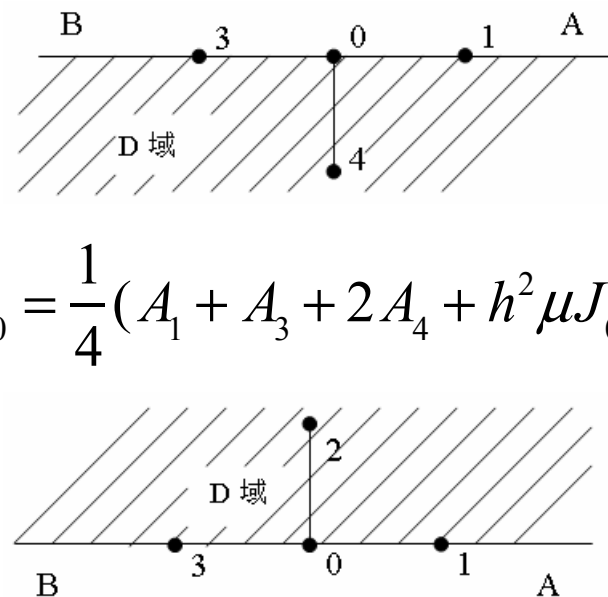
本节只讨论节点在边界上，并且边界节点处外法线与网格线重合的二类齐次边界。



$$A_0 = \frac{1}{4}(2A_1 + A_2 + A_4 + h^2\mu J_0)$$



$$A_0 = \frac{1}{4}(A_2 + 2A_3 + A_4 + h^2\mu J_0)$$



$$A_0 = \frac{1}{4}(A_1 + A_3 + 2A_4 + h^2\mu J_0)$$

$$A_0 = \frac{1}{4}(A_1 + 2A_2 + A_3 + h^2\mu J_0)$$



2.4 边界条件与边值关系的离散化

2.4.3 不同媒质交界面上的差分离散

一、交界面与网格相重合的情况

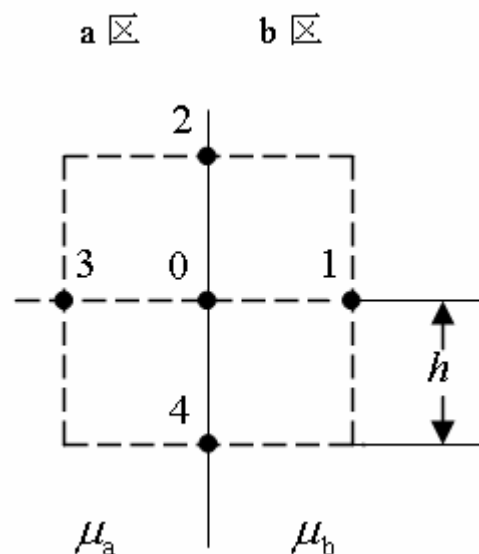
$$\left\{ \begin{array}{l} \mathbf{a} \text{ 区: } \nabla^2 A = -\mu_a J \\ \quad \quad \quad \longrightarrow A_{a1} + A_{a2} + A_{a3} + A_{a4} - 4A_{a0} = -h^2 \mu_a J_0 \quad (2.48) \\ \mathbf{b} \text{ 区: } \nabla^2 A = 0 \longrightarrow A_{b1} + A_{b2} + A_{b3} + A_{b4} - 4A_{b0} = 0 \quad (2.49) \end{array} \right.$$

利用交界面边界条件:

$$\left\{ \begin{array}{l} A_{am} = A_{bm} = A_m \quad (m=0, 2, 4) \quad (2.50) \end{array} \right.$$

$$\left\{ \begin{array}{l} \text{分界面处 } J_s = 0 \longrightarrow H_{at} = H_{bt} \end{array} \right.$$

$$\longrightarrow \frac{1}{\mu_a} (A_{a1} - A_{a3}) = \frac{1}{\mu_b} (A_{b1} - A_{b3}) \quad (2.52)$$



(向外延拓)

A_{a1} 和 A_{b3} 实际是不存在的。利用式(2.48)、(2.49)、(2.52)消去这两个量, 可得



2.4 边界条件与边值关系的离散化

$$2A_{b1} + (1+k)A_2 + 2kA_{a3} + (1+k)A_4 + kh^2\mu_a J_0 - 4(1+k)A_0 = 0, \quad k = \frac{\mu_b}{\mu_a} \quad (2.56)$$

讨论两种情况：

(1) 载流区和空气(真空)区的交界面

$$\mu_a = \mu_b = \mu_0 \Rightarrow k = 1 \Rightarrow A_0 = \frac{1}{4} \left(A_{b1} + A_2 + A_{a3} + A_4 + \frac{\mu_0 h^2 J_0}{2} \right)$$

(2) 铁区与空气区的交界面：

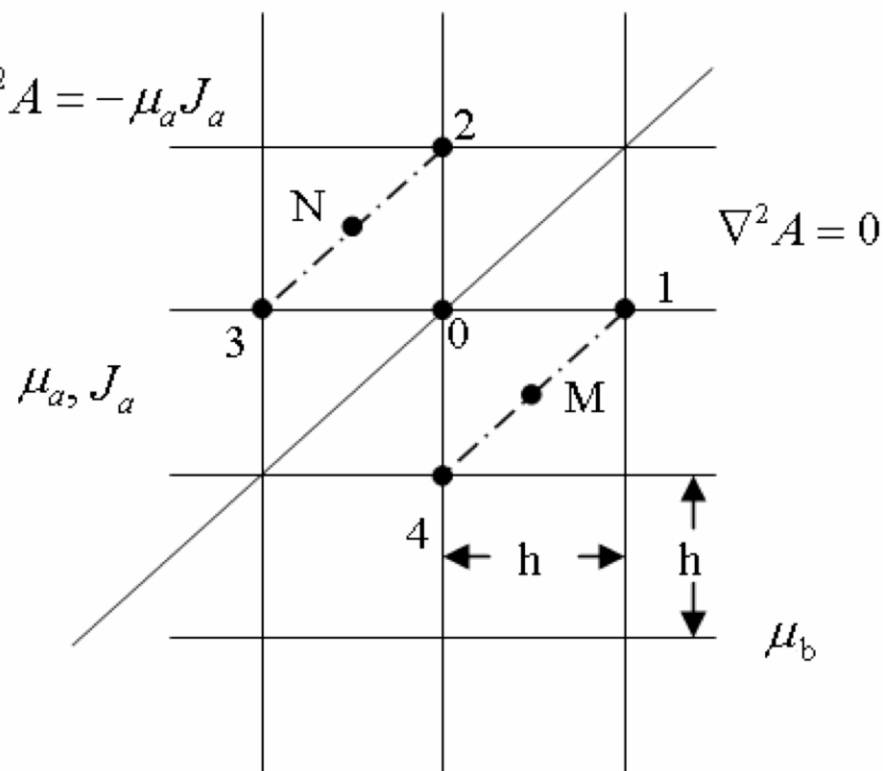
$$\mu_b \approx \infty, \mu_a = \mu_0 \Rightarrow \frac{k}{1+k} \rightarrow 1 \Rightarrow A_0 = \frac{1}{4} (A_2 + 2A_{a3} + A_4)$$



第2章 有限差分法

二、交界面对于网格呈对角线形态的情况

$$\left\{ \begin{array}{l} A_{a1} + A_{a2} + A_{a3} + A_{a4} - 4A_0 = -h^2 \mu_a J_a \quad \nabla^2 A = -\mu_a J_a \\ A_{b1} + A_{b2} + A_{b3} + A_{b4} - 4A_0 = 0 \quad \nabla^2 A = 0 \\ \frac{1}{\mu_a} \frac{(A_{aM} - A_{aN})}{\sqrt{2}h} = \frac{1}{\mu_b} \frac{(A_{bM} - A_{bN})}{\sqrt{2}h} \\ \left\{ \begin{array}{l} A_{aM} = (A_{a1} + A_{a4}) / 2 \\ A_{bN} = (A_{b2} + A_{b3}) / 2 \\ A_{aN} = (A_{a2} + A_{a3}) / 2 \\ A_{bM} = (A_{b1} + A_{b4}) / 2 \end{array} \right. \end{array} \right.$$



分界面与网格线呈对角线图示

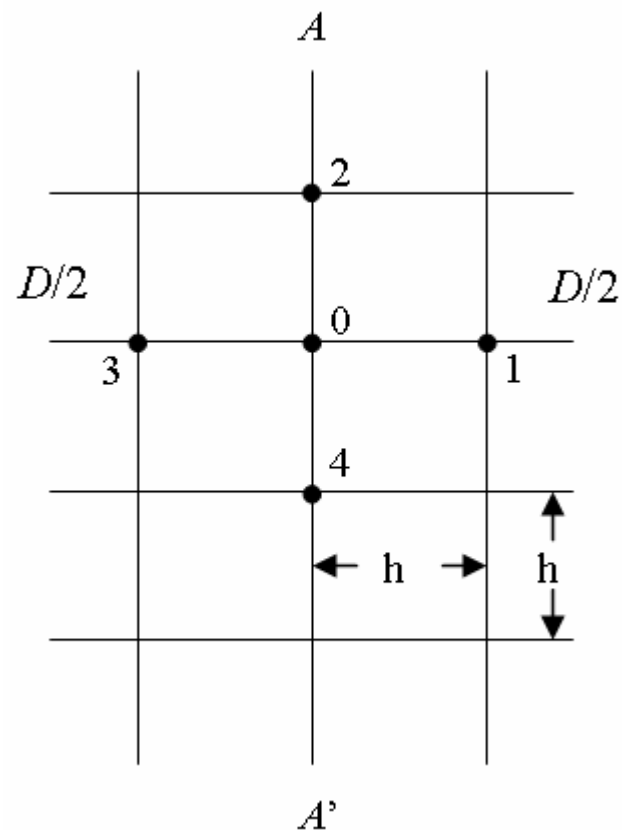
$$\Rightarrow A_0 = \frac{1}{4} \left(\frac{2}{1+k} (A_{b1} + A_{b4}) + \frac{2k}{1+k} (A_{a2} + A_{a3}) + \frac{k}{1+k} h^2 \mu_a J_a \right) \quad (2.65)$$



2.4.4 对称线的差分离散格式

根据场的对称性有 $u_1 = u_3$ ，相应的差分格式为：

$$u_0 = \frac{1}{4}(2u_1 + u_2 + u_4 - h^2 F)$$



对称线条件的差分离散



2.5 差分方程求解实例

➤ 超松驰迭代因子

二维场拉普拉斯方程等距剖分差分格式公式为：

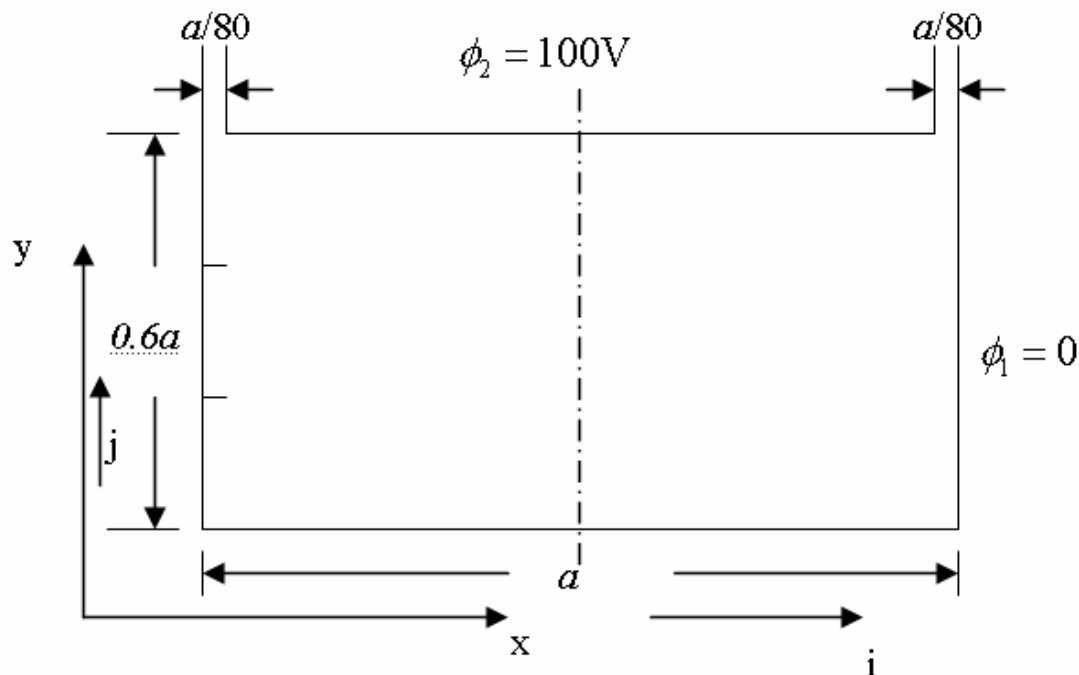
$$\Phi_{i,j}^{(n+1)} = \Phi_{i,j}^{(n)} + \frac{\alpha}{4} \left(\Phi_{i+1,j}^{(n)} + \Phi_{i,j+1}^{(n)} + \Phi_{i-1,j}^{(n+1)} + \Phi_{i,j-1}^{(n+1)} - 4\Phi_{i,j}^{(n)} \right)$$

α 的范围及作用？

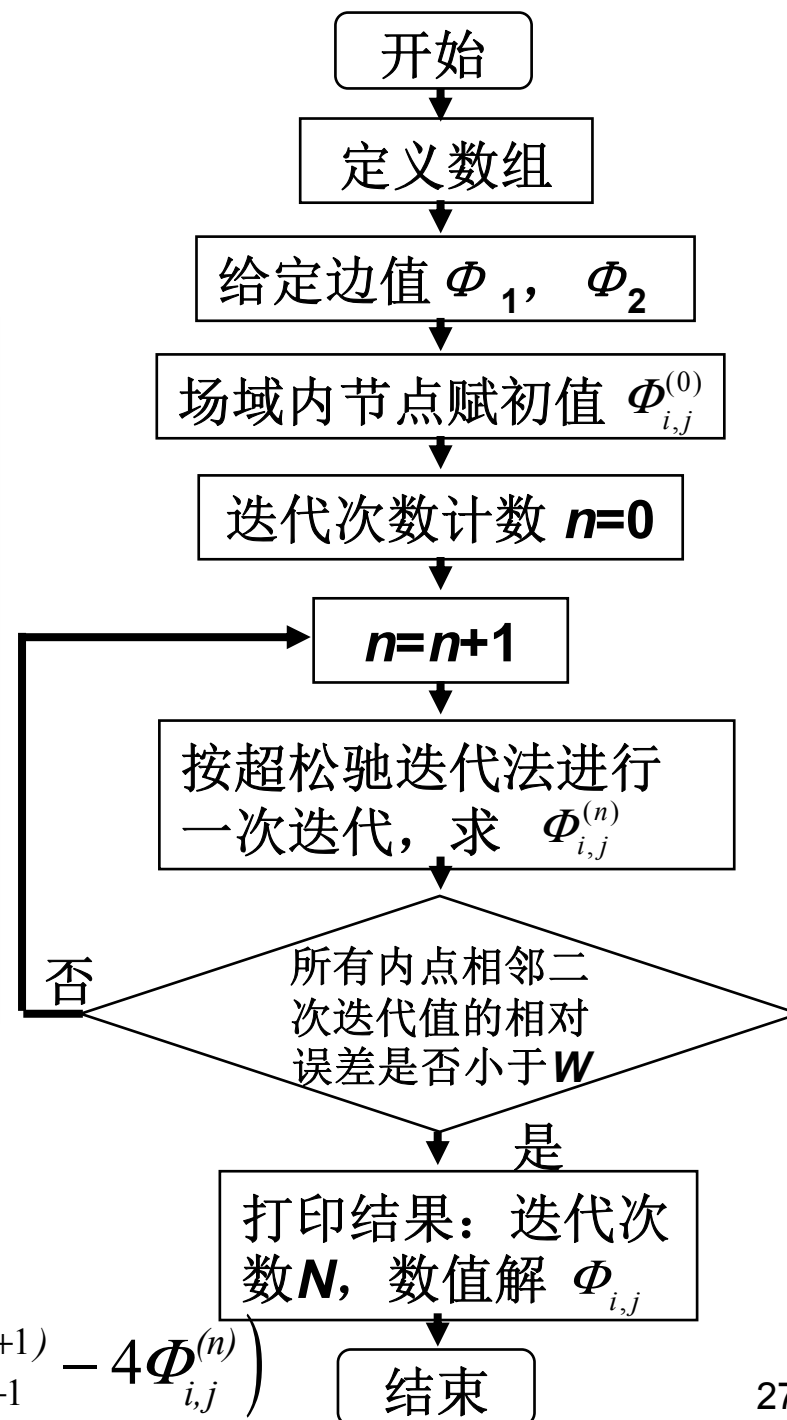
$$1 \leq \alpha < 2$$

加速收敛因子，影响迭代的速度。

2.5 差分方程求解实例



长接地金属槽二维问题求解



$$\Phi_{i,j}^{(n+1)} = \Phi_{i,j}^{(n)} + \frac{\alpha}{4} \left(\Phi_{i+1,j}^{(n)} + \Phi_{i,j+1}^{(n)} + \Phi_{i-1,j}^{(n+1)} + \Phi_{i,j-1}^{(n+1)} - 4\Phi_{i,j}^{(n)} \right)$$



2.9 时变电磁场的差分格式

2.9.1 时变电磁场方程

2.9.2 边界条件

2.9.3 差分格式

2.9.4 本征值 β 的计算

2.9.5 谐振腔的计算

2.9.6 谐振腔参数的计算



作业：

补4：推导边界节点与网格不重合时不等距网格的公式（书中公式（2.38））。

补5：分界面对于网格呈对角线分布。对于静电场，给出分界面处关于 $\mathbf{0}$ 点的五点差分格式。（仅讨论 $\rho_a \neq 0$ ， $\rho_b = 0$ 的情况，分界面的面电荷密度 $\sigma_s = 0$ ）



第2章 有限差分法

交界面处位函数与场量的切向/法向分量之间关系：（二维）

$$\left\{ \begin{array}{l} \vec{n} = n_x \vec{e}_x + n_y \vec{e}_y \\ \vec{t} = t_x \vec{e}_x + t_y \vec{e}_y = n_y \vec{e}_x - n_x \vec{e}_y \end{array} \right. \quad \left\{ \begin{array}{l} \nabla \times \vec{A} = \frac{\partial A_z}{\partial y} \vec{e}_x - \frac{\partial A_z}{\partial x} \vec{e}_y \\ \nabla A_z = \frac{\partial A_z}{\partial x} \vec{e}_x + \frac{\partial A_z}{\partial y} \vec{e}_y \end{array} \right.$$

矢量磁位：

$$\left\{ \begin{array}{l} H_t = \vec{t} \cdot \vec{H} = \vec{t} \cdot \frac{1}{\mu} \nabla \times \vec{A} = \frac{1}{\mu} \vec{n} \cdot \nabla A_z = \frac{1}{\mu} \frac{\partial A_z}{\partial n} \\ H_n = \vec{n} \cdot \vec{H} = \vec{n} \cdot \frac{1}{\mu} \nabla \times \vec{A} = -\frac{1}{\mu} \vec{t} \cdot \nabla A_z = -\frac{1}{\mu} \frac{\partial A_z}{\partial t} \end{array} \right.$$

标量磁位：

$$\left\{ \begin{array}{l} H_t = \vec{t} \cdot \vec{H} = -\vec{t} \cdot \nabla \Phi_m = -\frac{\partial \Phi_m}{\partial t} \\ H_n = \vec{n} \cdot \vec{H} = -\vec{n} \cdot \nabla \Phi_m = -\frac{\partial \Phi_m}{\partial n} \end{array} \right.$$